

сообщения  
объединенного  
института  
ядерных  
исследований  
дубна

РЗ-85-275

Ю.М.Гledenov, Л.В.Кузнецова, Ю.П.Попов,  
Х.Риголь, В.И.Салацкий

ИССЛЕДОВАНИЕ РЕАКЦИЙ  $^{40}\text{K}(n, \alpha)^{37}\text{Cl}$   
И  $^{40}\text{K}(n, p)^{40}\text{Ar}$   
НА ТЕПЛОВЫХ И РЕЗОНАНСНЫХ НЕЙТРОНАХ

1985

## ВВЕДЕНИЕ

До сих пор имеется мало сведений о нейтронных сечениях, параметрах резонансов и расстояниях между уровнями для нечетно-нечетных ядер среднего веса, так как они в большинстве случаев радиоактивны. Одним из наиболее удобных для исследования ядер такого типа является  $^{40}\text{K}$ , период полураспада которого  $1,28 \cdot 10^9$  лет. В работах <sup>/1,2/</sup> на тепловых нейтронах были определены сечения реакций  $^{40}\text{K}(n, p)$  и  $^{40}\text{K}(n, \alpha)$ . В работе <sup>/3/</sup> измерены сечения этих реакций в диапазоне энергий нейтронов от 0,02 эВ до 70 кэВ, и обнаружен ряд резонансов.

Целью настоящей работы было увеличение надежности результатов, полученных при исследовании реакций  $^{40}\text{K}(n, p)$  и  $^{40}\text{K}(n, \alpha)$  на медленных нейтронах /включая тепловые/, для чего применена методика исследования, отличающаяся от использованной в работах <sup>/1-3/</sup>. Предварительные данные нашей работы сообщены на конференции по нейтронной физике <sup>/4/</sup>.

## ЭКСПЕРИМЕНТЫ

Исследования реакций  $^{40}\text{K}(n, p)$  и  $^{40}\text{K}(n, \alpha)$  проводились с помощью нейтронного спектрометра по времени пролета на импульсном реакторе ИБР-30, работавшем в обычном или бустерном режимах. Мишени из KCl с содержанием изотопа  $^{40}\text{K} /2,7+0,2\%$  готовились методом осаждения на алюминиевые подложки. Литиевая мишень, также на алюминиевой подложке, используемая в экспериментах как эталонная /сечение реакции  $^6\text{Li}(n, t)^4\text{He}$  для тепловых и резонансных нейтронов известно с точностью 1%, изготовливалась методом напыления в вакууме. Мишени из KCl и LiF, имеющие одинаковую площадь, устанавливались в двухсекционную ионизационную камеру с сеткой, как описано в <sup>/5/</sup>. При измерениях с резонансными нейтронами камера окружалась кадмием для устранения влияния нейтронов, термализовавшихся в помещении. Непосредственно перед камерой во всех измерениях устанавливался коллиматор нейтронов, формирующий пучок размером  $30 \times 2$  см, и измерения проводились в так называемой "косой геометрии", как и в работе <sup>/5/</sup>, то есть мишени стояли под углом примерно  $4^\circ$  к пучку падающих нейтронов. Камера наполнялась смесью ( $\text{Ar} + 3\% \text{CO}_2$ ) до давления 2 атм.

Условия экспериментов приведены в табл.1. Импульсы с коллекторов ионизационной камеры, при помощи измерительного модуля на основе ЭВМ СМ-3, анализировались по времени пролета и ампли-

Таблица 1

Нейт- роны	Пролет- ная база, м	Разреше- ние спектро- метра, мкс/м	$n_K$ число атомов $^{40}\text{K}$ на $\text{см}^2$ , $10^{17}$	$n_L$ число атомов $^6\text{Li}$ на $\text{см}^2$ , $10^{17}$	Время из- мерения, ч	
					$t_K$ на $^{40}\text{K}$	$t_L$ на $^6\text{Li}$
резонанс- ные						
1 серия	85	0,07	$2,57 \pm 0,21$	$4,97 \pm 0,15$	94	1
2 серия	85	0,05	$2,57 \pm 0,21$	$4,97 \pm 0,15$	37	37
медленные $\leq 1$ эВ	52	1,5	$1,02 \pm 0,08$	-	48	-

туде. После накопления информации магнитные ленты переносились на ЭВМ CDC-6500, где проводилась сортировка двумерной информации.

Калибровка энергии нейтронов по времени пролета при измерениях на резонансных нейтронах  $/E_n = 9-18000$  эВ/ осуществлялась с помощью марганцевого фильтра по известным резонансам марганца, проявляющимся как провалы на времяпролетных спектрах частиц, вылетающих из литиевой мишени.

Калибровка энергетической шкалы амплитудных спектров частиц, вылетающих из мишеней, проводилась с помощью тонких источников из смеси  $^{238}\text{U}$  и  $^{234}\text{U}$ , испускающих  $\alpha$ -частицы с энергиями 4,18 и 4,76 МэВ.

Для исследования реакций  $^{40}\text{K}(n, \alpha)$  и  $^{40}\text{K}(n, p)$  на резонансных нейтронах проведены две серии измерений. В первой серии регистрация частиц, вылетающих из калиевой мишени и из эталонной литиевой мишени, производилась поочередно. Времяпролетный спектр частиц, вылетающих с энергиями 1,1-3,6 МэВ /максимальная энергия протонов и  $\alpha$ -частиц равна 2,23 МэВ и 3,49 МэВ, соответственно/, приведен на рис.1 /верхняя кривая/. Экспериментальные ошибки меньше размеров точек. Видны резонансы при энергиях нейтронов  $E_n = 1,13; 2,29; 3,06$  и  $5,18$  кэВ. Положения полученных резонансов находятся в хорошем согласии с энергиями резонансов, наблюдавшихся в работе <sup>13/</sup>. По амплитудным спектрам частиц, вылетающих из мишени  $^{40}\text{K}$ , в интервалах энергий нейтронов, соответствующих резонансам, было установлено, что резонансы 1,13; 2,29 и 5,18 кэВ в основном обусловлены реакцией  $(n, \alpha)$ , а резонанс 3,06 кэВ - реакцией  $(n, p)$ . Это соответствует результатам измерений, приведенным в работе <sup>13/</sup>. Резонансы при энергиях больше 6 кэВ на спектре не видны.

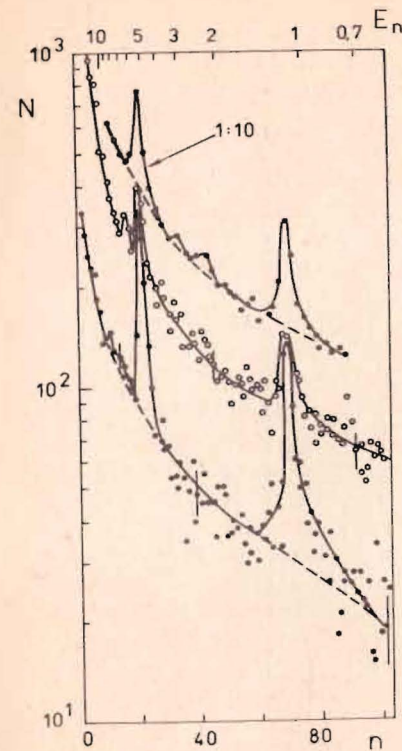


Рис.1. Времяпролетные спектры частиц, вылетающих из мишени  $^{40}\text{K}$ . Верхняя кривая - для энергий вылетающих частиц 1,1-3,6 МэВ; средняя - для энергий частиц 0,82-2,25 МэВ /с алюминиевым фильтром/; нижняя - для энергий частиц 2,25-3,55 МэВ /с алюминиевым фильтром/;  $E_n$  - энергия нейтронов в кэВ.

Во второй серии измерений была сделана попытка получить резонансы с энергией выше 6 кэВ. Для этого на пути нейтронов от реактора до камеры был поставлен алюминиевый фильтр толщиной 10 см. Поток нейтронов с энергиями до 10 кэВ снизился в меньшей степени, чем поток более быстрых нейтронов, поэтому отношение эффекта к фону увеличилось, и на времяпролетных спектрах в области энергий  $E_n$  от 6 до 10 кэВ появились пики, обусловленные неразрешенными резонансами. Средняя

кривая на рис.1 - времяпролетный спектр частиц с энергиями от 0,82 до 2,25 МэВ, вылетающих из калиевой мишени. Нижняя кривая - спектр частиц с энергиями 2,25-3,55 МэВ из той же мишени.

На мишенях из KCl, изготовленных методом осаждения, наблюдались неоднородности, поэтому было необходимо проверить, соответствует ли средняя толщина мишеней той толщине /назовем ее эффективной толщиной/, которая входит в формулу для определения эффективности регистрации частиц, вылетающих из мишеней конечной толщины  $/6/$ , где эффективность регистрации определена как отношение числа зарегистрированных частиц к полному числу частиц, образовавшихся в мишени. Оказалось, что отношение площадей под пиками от  $\alpha$  частиц на нижней и средней кривой, приведенных на рис.1, при энергии нейтронов  $E_n = 1,13$  кэВ соответствует эффективной толщине, равной  $(1,89 \pm 0,21)$  мг/см<sup>2</sup>, а для  $E_n = 5,18$  кэВ - равной  $(1,93 \pm 0,13)$  мг/см<sup>2</sup>. В дальнейших расчетах эффективная толщина этой мишени взята равной  $(1,92 \pm 0,13)$  мг/см<sup>2</sup>, что в 1,6 раза больше средней толщины, определенной по взвешиванию.

В работе <sup>13/</sup> сообщалось об обнаружении значительного отклонения хода сечения реакции  $^{40}\text{K}(n, p)$  от закона  $1/v$  в диапазоне энергий нейтронов 0,007-1000 эВ. Поэтому нами была специально изучена зависимость выходов реакций  $^{40}\text{K}(n, p)$  и  $^{40}\text{K}(n, \alpha)$

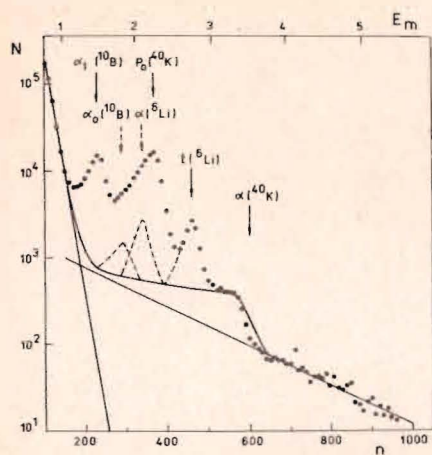


Рис.2. Амплитудный спектр частиц, вылетающих из мишени  $^{40}\text{K}$ , при энергии нейтронов  $0,025-0,036$  эВ.  $E_m$  - энергия частиц в МэВ.

от энергии нейтронов в диапазоне энергий  $E_n = 0,01-1,3$  эВ, на котором отклонение от закона  $1/v$  доходит, согласно утверждению работы <sup>/3/</sup>, до 4 раз. Столь большое различие в таком узком интервале энергий представляется удивительным. Этот диапазон энергий нейтронов был разбит на семь интервалов, в каждом из которых полу-

чены амплитудные спектры частиц, вылетающих из калиевой мишени. На рис.2 приведен один из таких спектров, измеренный в интервале энергий  $E_n$  от  $0,025$  до  $0,036$  эВ / $E_n = 0,030$  эВ/. Четко видны пики, соответствующие  $\alpha$ -частицам из бора -  $\alpha(^{10}\text{B})$ , протонам из калия -  $p_0(^{40}\text{K})$ , тритонам из лития -  $t(^{6}\text{Li})$ , а также виден правый край пика от  $\alpha$ -частиц из калия -  $\alpha(^{40}\text{K})$ . Бор и литий присутствуют в калиевой мишени как малые примеси. Фоновые подложки показаны на рисунке прямыми линиями. Расчетная форма пика  $\alpha(^{40}\text{K})$ , привязанная при энергии  $3,2$  МэВ к экспериментальной точке, показана сплошной линией. Форма и площади пиков  $\alpha_0(^{10}\text{B})$  и  $\alpha(^{6}\text{Li})$  определены по пикам  $\alpha(^{10}\text{B})$  и  $t(^{6}\text{Li})$  соответственно /для  $^{10}\text{B}$   $I_{\alpha_0} = 0,067 I_{\alpha}$ , а для  $^{6}\text{Li}$   $I_{\alpha} = I_t$ ).

На всех семи амплитудных спектрах точность определения площади пиков  $p_0(^{40}\text{K})$  составляла около 5%, а площади пиков  $\alpha(^{40}\text{K})$  - около 25%. В то же время ошибка относительного определения площадей  $\alpha$ -пиков, что необходимо для выяснения хода сечения реакции  $(n, \alpha)$ , составляла примерно 10%.

## РЕЗУЛЬТАТЫ

Сечение реакций  $^{40}\text{K}(n, \alpha)$  и  $^{40}\text{K}(n, p)$  для резонансных нейтронов определялось по формуле

$$\sigma_K(E) = \frac{N_K n t \epsilon_L}{N_L n t \epsilon_K} P m \sigma_L(E),$$

где  $L$  и  $K$  - индексы, соответствующие литиевой и калиевой мишеням,  $N$  - число зарегистрированных частиц,  $n$  - число атомов на  $1 \text{ см}^2$  мишени,  $t$  - время регистрации частиц,  $\epsilon$  - эффективность регистрации,  $P$  - коэффициент, учитывающий нестабильность потока нейтронов от реактора,  $m$  - поправка на различие числа нейтронов, падающих на мишени,  $\sigma_L(E)$  - сечение реакции  $^{6}\text{Li}(n, t) ^4\text{He}$ .

Значения  $N_K$  для резонансов  $1,13; 2,29; 3,06; 5,18$  кэВ определены по данным, приведенным на верхней кривой рис.1. Как уже упоминалось ранее, по амплитудным спектрам частиц, вылетающих из мишени  $^{40}\text{K}$ , было установлено, что резонанс  $3,06$  кэВ в основном обусловлен вылетающими протонами, а остальные резонансы - вылетающими  $\alpha$ -частицами. Величина  $N_K$  для области энергий нейтронов  $5,9-9,8$  кэВ получена по данным, приведенным на нижней кривой того же рисунка.

Значения  $N_L$  определены по выходу тритонов из литиевой мишени. Величины  $n_L, n_K, t_L$  и  $t_K$  приведены в табл.1.

Значения  $\epsilon$  вычислены по формуле, взятой из работы <sup>/6/</sup>. Эталонная мишень из  $\text{LiF}$  - тонкая ( $23 \text{ мкг/см}^2$ ), поэтому  $\epsilon_L$  близко к  $0,5$ . Для обеих серий измерений на резонансных нейтронах  $\epsilon_L = 0,49 \pm 0,01$ . В первой серии эффективность регистрации  $\alpha$ -частиц  $\epsilon_K^{\alpha} = 0,33 \pm 0,02$ , а протонов -  $\epsilon_K^p = 0,45 \pm 0,02$ . Во второй серии эффективность регистрации  $\alpha$ -частиц из-за более высокого порога регистрации была меньше,  $\epsilon_K^{\alpha} = 0,21 \pm 0,02$ .

Мощность реактора поддерживалась с точностью  $\pm 5\%$ , поэтому коэффициент  $P = 1,00 \pm 0,05$ .

Поправка  $m$ , обусловленная рассеянием нейтронов на подложках между мишенями, составляла  $0,88 \pm 0,05$ .

Сечение реакции  $^{6}\text{Li}(n, t)$  взято из работы <sup>/7/</sup>.

Наши результаты представлены в табл.2 так же, как в работе <sup>/3/</sup>, в виде параметров резонансов  $A_x = (g_n \Gamma_x) / \Gamma$ , где  $x$  - индекс, указывающий на тип исследуемой реакции  $(n, \alpha)$  или  $(n, p)$ ,  $g$  - статистический фактор,  $\Gamma_n$  и  $\Gamma$  - нейтронная и полная ширины,  $\Gamma_x$  - это  $\Gamma_{\alpha}$  либо  $\Gamma_p$ . Параметры  $A_x$  связаны с площадями под резонансами выражением  $A_x = \frac{2}{\lambda^2} \sum_{\text{рез}} \sigma_x(E) \Delta E$ , где  $\lambda$  - длина волны нейтрона.

Для сравнения в табл.2 приведены также данные работы <sup>/3/</sup>. В диапазоне энергий нейтронов до  $5,9$  кэВ результаты совпадают в пределах ошибок. При больших энергиях сравнение параметра  $A_{\alpha}$ , полученного нами для неразрешенных резонансов с суммой параметров резонансов, приведенных в <sup>/3/</sup> для той же области энергий нейтронов, показывает совпадение лишь в пределах двух статистических ошибок наших результатов, что объясняется, возможно, и тем, что в полученный нами параметр могли войти вклады от слабых резонансов, пропущенных в <sup>/3/</sup>.

Результаты, полученные при измерениях с нейтронами до  $1$  эВ в семи интервалах энергий нейтронов, для каждого из которых вычислена средняя энергия, представлены в табл.3. В третьей и четвертой колонках таблицы приведены числа зарегистрированных нами протонов и  $\alpha$ -частиц из реакций  $^{40}\text{K}(n, p)$  и  $^{40}\text{K}(n, \alpha)$ . В пятой колонке - отношение между ними. В шестой колонке - то же отношение, вычисленное по эмпирической формуле, полученной на основании экспериментальных данных работы <sup>/3/</sup>. Постоянство отношения, полученное нами, опровергает утверждение авторов работы <sup>/3/</sup> о том, что сечение реакции  $^{40}\text{K}(n, p)$  сильно отклоняется от зависимости

Таблица 2

Энергия резонанса, кэВ	$A_\alpha$ , мэВ		$A_p$ , мэВ	
	наст. работа	работа <sup>/3/</sup>	наст. работа	работа <sup>/3/</sup>
1,13	43+7	43+4	-	<0,3
2,29	27+9	28+2,5	-	<0,6
3,06	-	1+0,25	6,5+5,5	13+1,5
5,18	1140+230	1100+90	-	-
5,9-9,8	380+160	114+15	-	50+5

Таблица 3

Интервал энергии	$\bar{E}$ , эВ	$N_p$	$N_\alpha$	$N_p/N_\alpha$		$N_\alpha(B)$ , $10^3$	$\frac{N_p}{N_\alpha(B)}$	$\frac{N_\alpha}{N_\alpha(B)}$
				наст. работа	работа <sup>/3/</sup>			
1	0,677	19264	408	47	4,8	15,5	1,25	0,026
2	0,215	40408	765	53	6,4	31,8	1,27	0,024
3	0,069	112235	2319	48	8,8	88,3	1,27	0,026
4	0,046	133560	2786	48	10,2	105,9	1,26	0,026
5	0,030	93803	1918	49	12,0	75,9	1,24	0,025
6	0,021	49494	1106	45	14,2	39,4	1,26	0,028
7	0,014	31036	663	47	17,4	25,0	1,24	0,026

$1/v$ , в то время как сечение реакции  $^{40}\text{K}(n, \alpha)$  следует этому закону. Для увеличения надежности нашего результата было проделано сравнение выхода протонов из калиевой мишени с выходом  $\alpha$ -частиц из реакции  $^{10}\text{B}(n, \alpha_1)$ , сечение которой, как известно, следует закону  $1/v$  в рассматриваемом диапазоне энергий нейтронов. Число зарегистрированных частиц из бора приведено в седьмой колонке. В следующей колонке - отношение числа протонов к числу  $\alpha$ -частиц из бора. Видно, что в пределах экспериментальных ошибок, по оценке составляющих не более +5%, отношение постоянно, а это значит, что сечение реакции  $^{40}\text{K}(n, p)$  в диапазоне энергий до 1 эВ следует закону  $1/v$ . В последней колонке таблицы приведено полу-

ченное нами отношение числа  $\alpha$ -частиц из калиевой мишени к числу  $\alpha$ -частиц из бора. Видно, что сечение реакции  $^{40}\text{K}(n, \alpha)$ , как уже отмечалось в<sup>/3/</sup>, следует закону  $1/v$ .

## ЗАКЛЮЧЕНИЕ

Результаты настоящей работы подтверждают параметры резонансов, полученные в<sup>/3/</sup>, и вывод, приведенный там же, о том, что в области энергий медленных нейтронов изменение сечения реакции  $^{40}\text{K}(n, \alpha)$  следует закону  $1/v$ . Но наши результаты находятся в явном противоречии с утверждением авторов той же работы<sup>/3/</sup>, что в области энергий нейтронов до 1 эВ изменение сечения реакции  $^{40}\text{K}(n, p)$  отличается от закона  $1/v$ .

Авторы выражают благодарность Т.С.Зваровой за приготовление калиевых мишеней.

## ЛИТЕРАТУРА

- Schroder I.G. et al. Phys.Rev., 1968, 165, p.1184.
- Emsallem A. et al. Nucl.Phys., 1981, A368, p.108.
- Weigmann H. et al. Nucl.Phys., 1981, A368, p.117.
- Гледенов Ю.М. и др. В кн.: Нейтронная физика. Материалы 6-й Всесоюзной конференции по нейтронной физике. Киев, 2-6 октября 1983 г. ЦНИИАтоминформ, М., 1984, т.2, с.388.
- Втюрин В.А. и др. ОИЯИ, РЗ-8800, Дубна, 1975.
- Аборосимов Н.К., Кочаров Г.Е. Изв. АН СССР, сер.физ., 1962, 26, с.237.
- Uttley C.A. et al. In: 3rd Conf.Neutron Cross Section+ Tech., Knoxville, 1971, 2, p.551.

Рукопись поступила в издательский отдел  
16 апреля 1985 года.